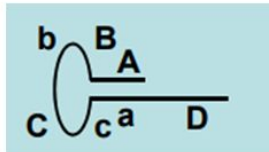
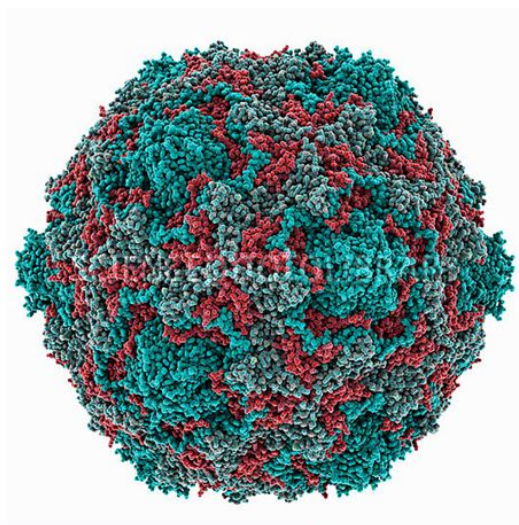


РЕПЛИКАЦИЯ. ПРОКАРИОТЫ

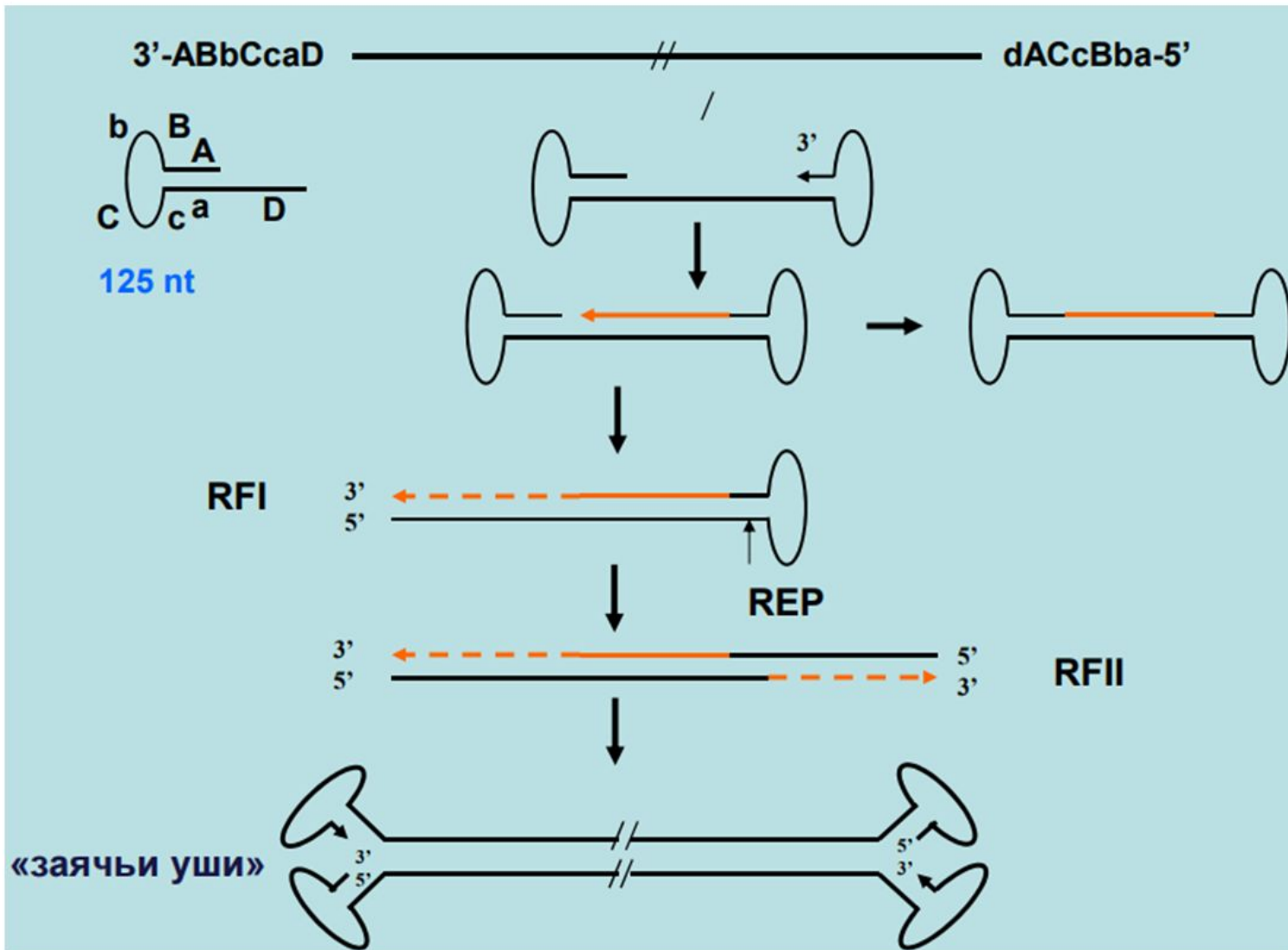
3

РЕПЛИКАЦИЯ ФАГОВ: парвовирусы

-) линейная оцДНК;
-) ~5000 нт;
-) концевые повторы 100-300 нт.

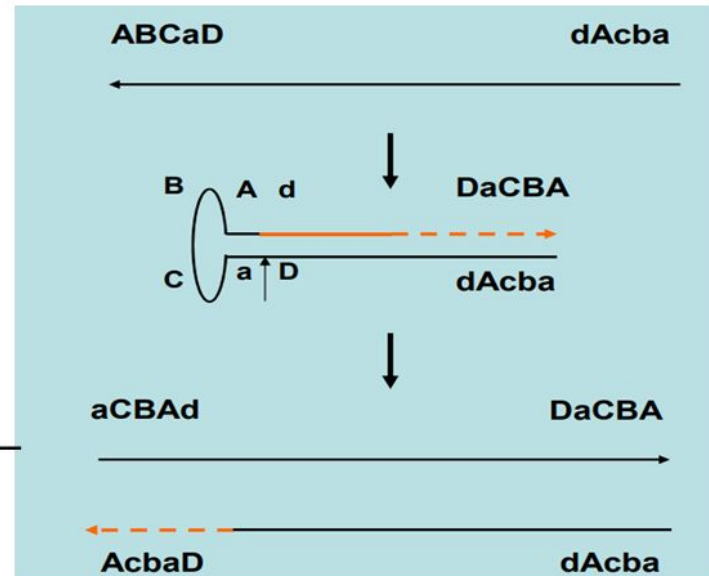


РЕПЛИКАЦИЯ ФАГОВ: парвовирусы



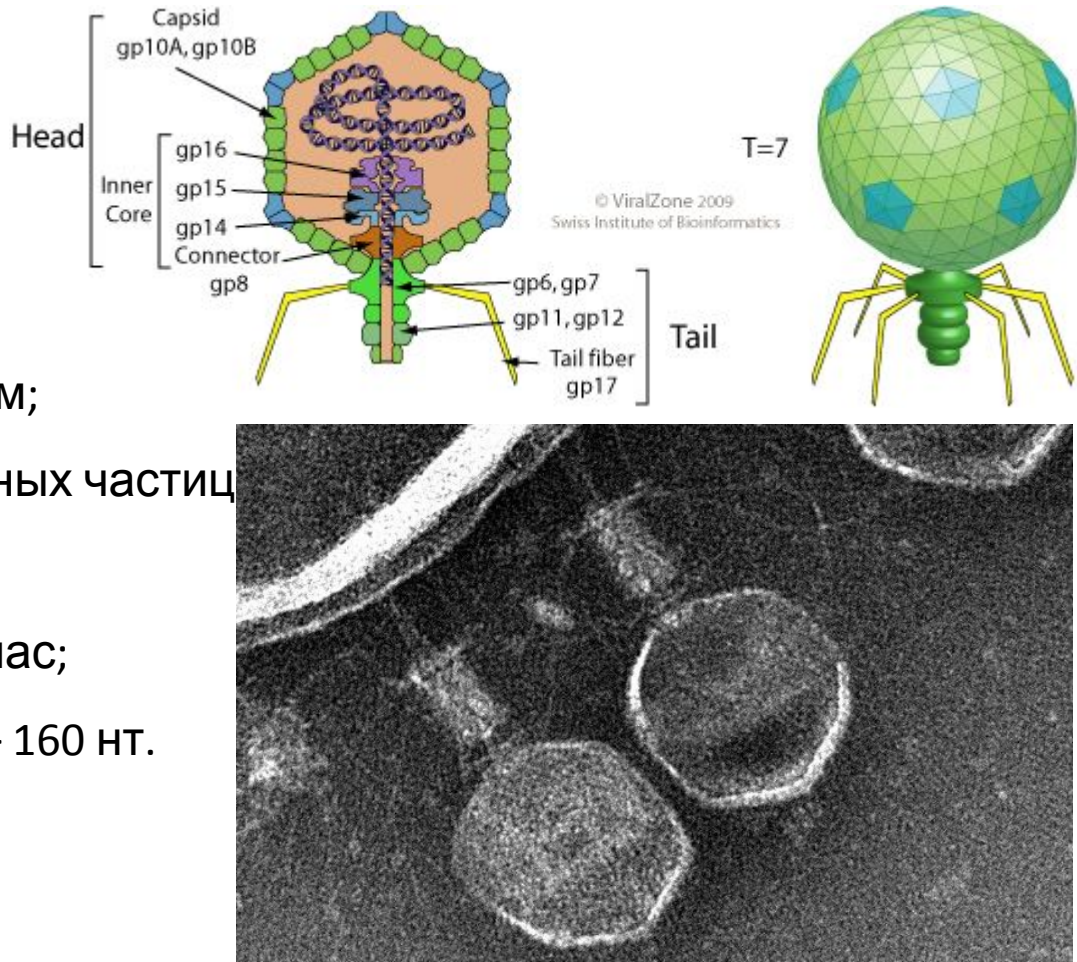
РЕПЛИКАЦИЯ ФАГОВ: парвовирусы

-) самозатравочный механизм, стартует со стадии элонгации;
-) синтез идет исключительно по лидирующей цепи;
-) часть материнской молекулы входит в состав дочерней молекулы;
-) внутри концевого повтора происходит инверсия нт-последовательности, соответственно, нт-последовательность концевых повторов дочерних материнских молекул различаются, но их структура сохраняется;
-) подобные изменения не затрагивают смысловых нт-последовательностей (кодирующих и регуляторных) и не влияют на репликацию вируса;
-) половина дочерних цепей ДНК в конечных частицах имеет положительную, а другая половина – отрицательную полярность.



РЕПЛИКАЦИЯ ФАГОВ: Т7

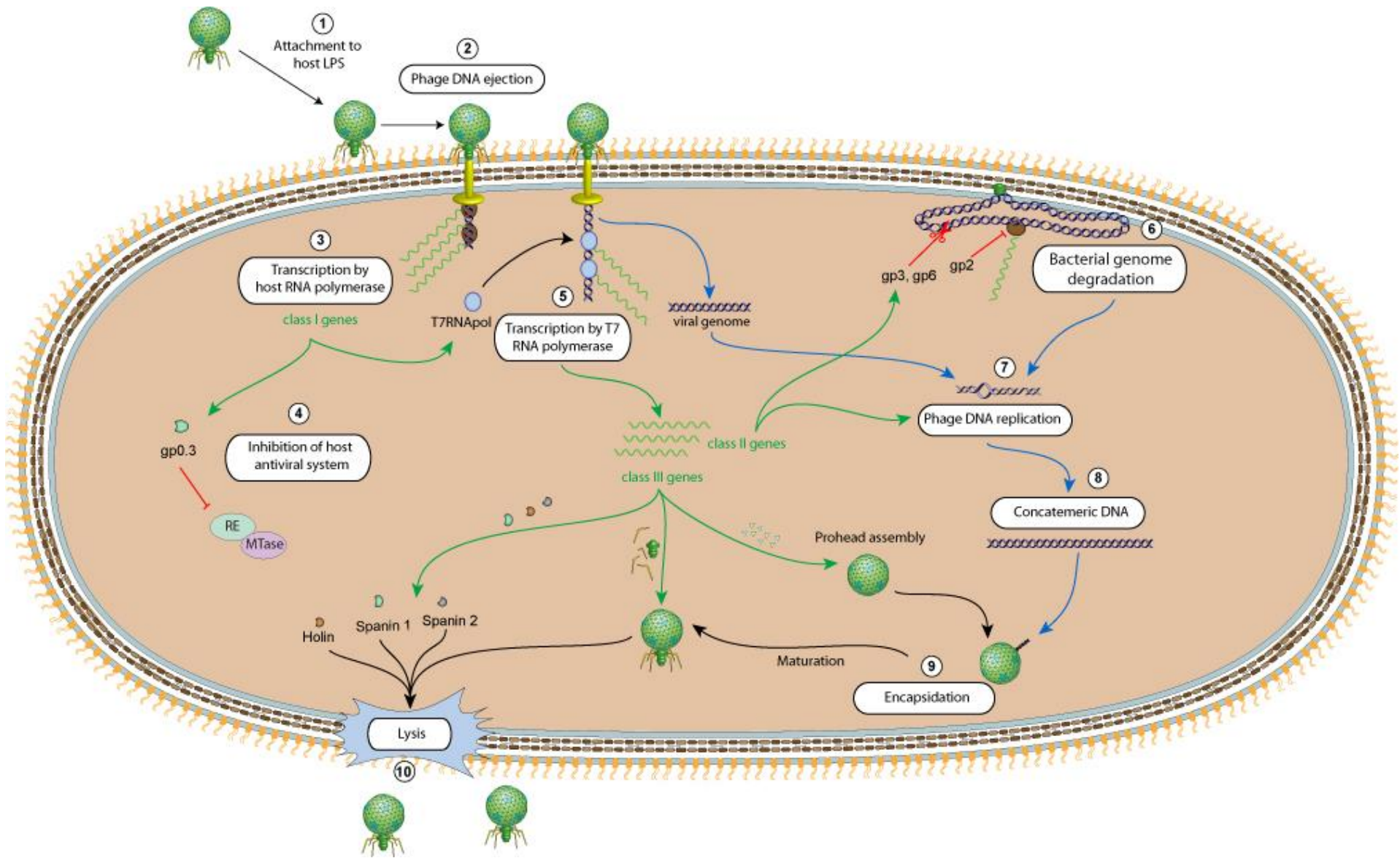
-) линейная дцДНК;
-) ~40 тпн;
-) 55 белков;
-) головка 55 нм, хвост 19*28.5 нм;
-) литический вирус – 100 вирусных частиц;
-) 17 мин при 37°C (11-30 мин);
-) скорость размножения 10^{13} / час;
-) наличие концевых повторов – 160 нт.



[Demerec, M., Fano, U. Bacteriophage-Resistant Mutants in *Escherichia Coli*. *Genetics*. 1945, 30(2):119–136]

[Dunn, J. J.; Studier, F. W. Complete nucleotide sequence of bacteriophage T7 DNA and the locations of T7 genetic elements. *Journal of Molecular Biology*. 1983, 166(4): 77–535]

РЕПЛИКАЦИЯ ФАГОВ: Т7

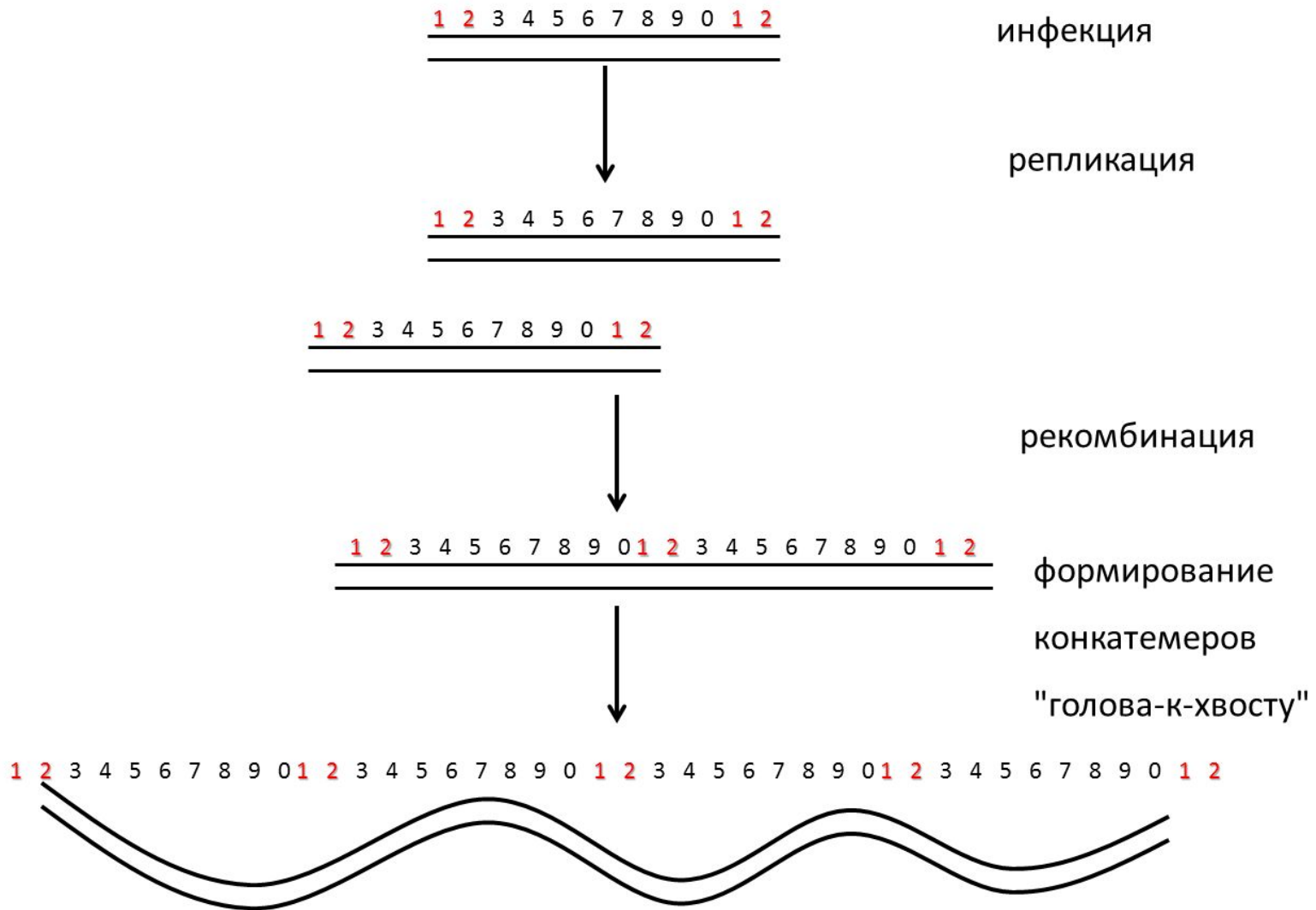


РЕПЛИКАЦИЯ ФАГОВ: Т7

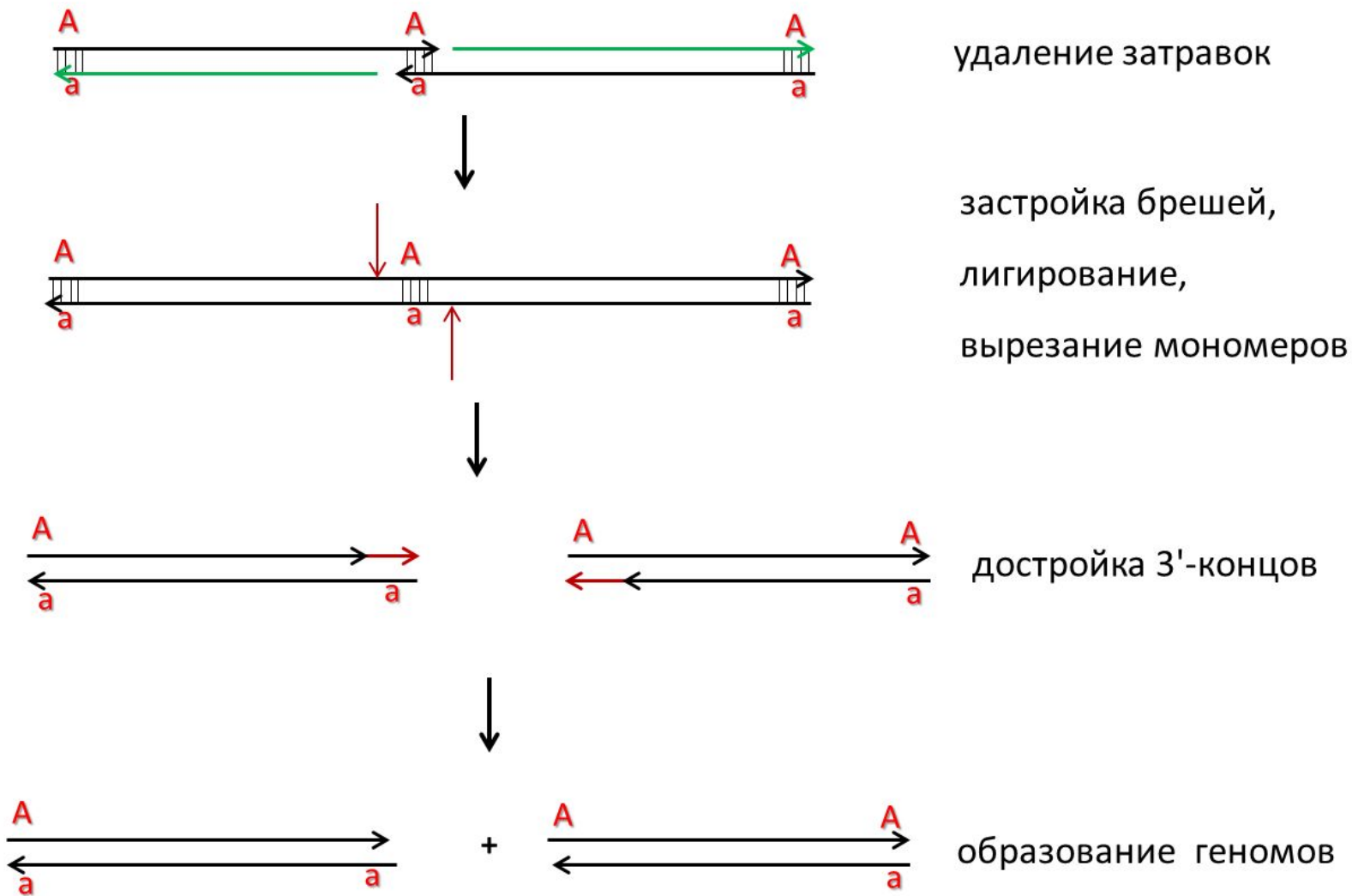


Репликация идет по двум цепям. Обе цепи синтезируются прерывисто.

РЕПЛИКАЦИЯ ФАГОВ: Т7

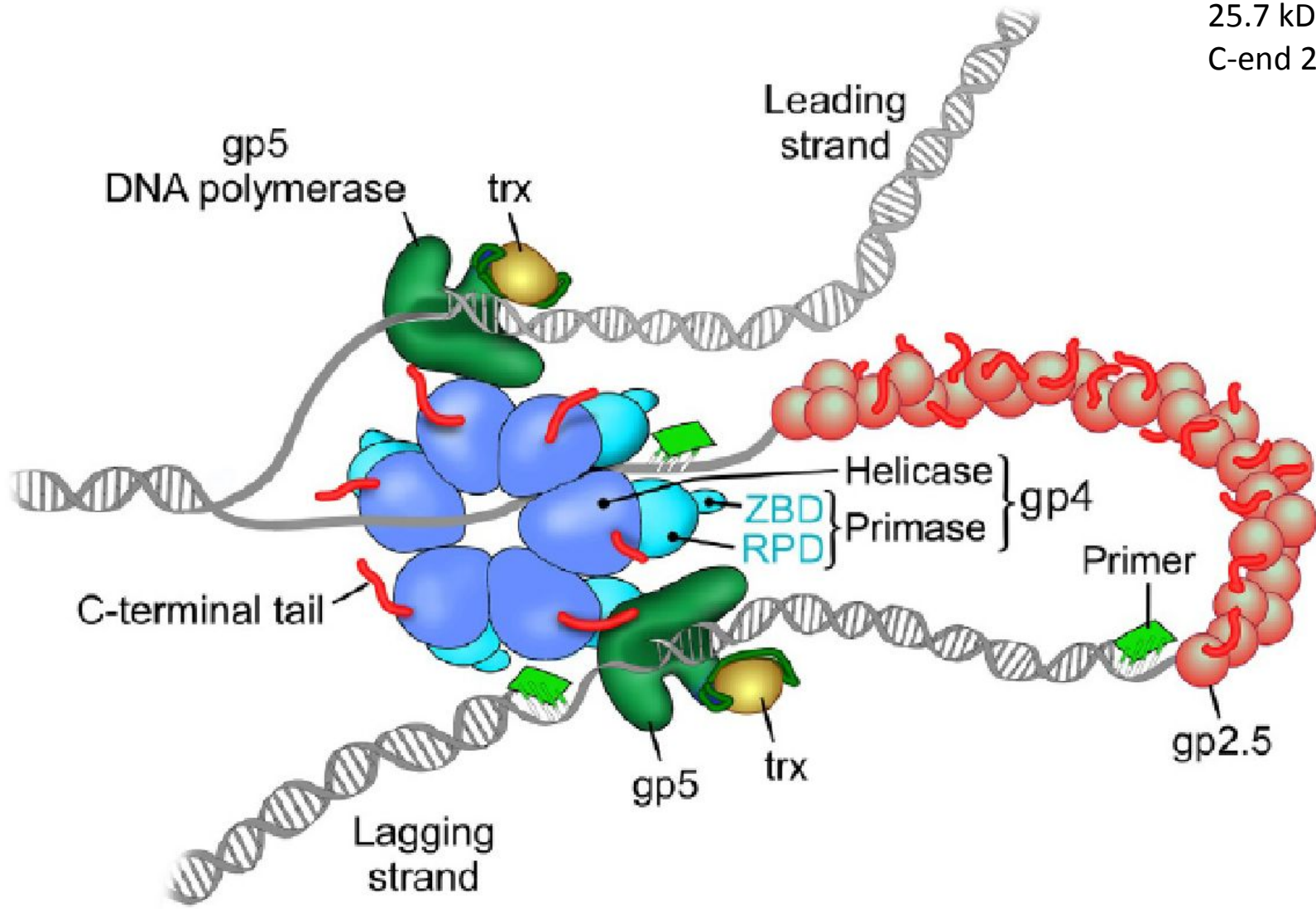


РЕПЛИКАЦИЯ ФАГОВ: Т7



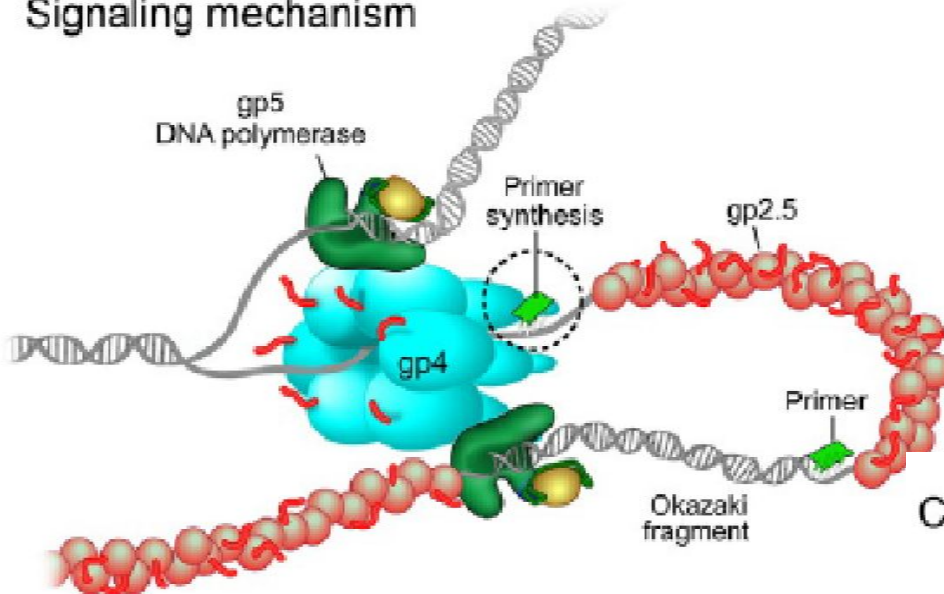
РЕПЛИКАЦИЯ ФАГОВ: Т7, реплисома

25.7 kDa
C-end 26 ак

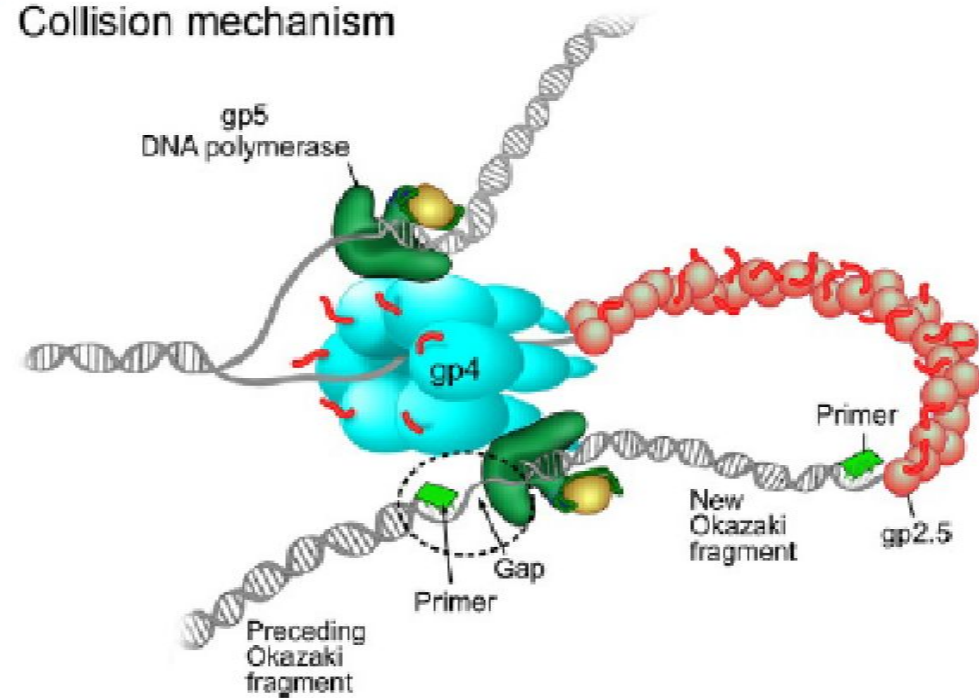


РЕПЛИКАЦИЯ ФАГОВ: Т7, отстающая цепь

Signaling mechanism



Collision mechanism



РЕПЛИКАЦИЯ ФАГОВ: Т4

Enterobacteria phage T4

-) линейная дцДНК;

-) ~170 тпн;

-) 289 белков;

-) 90*200 нм;

-) литический вирус – 100 -150 частиц

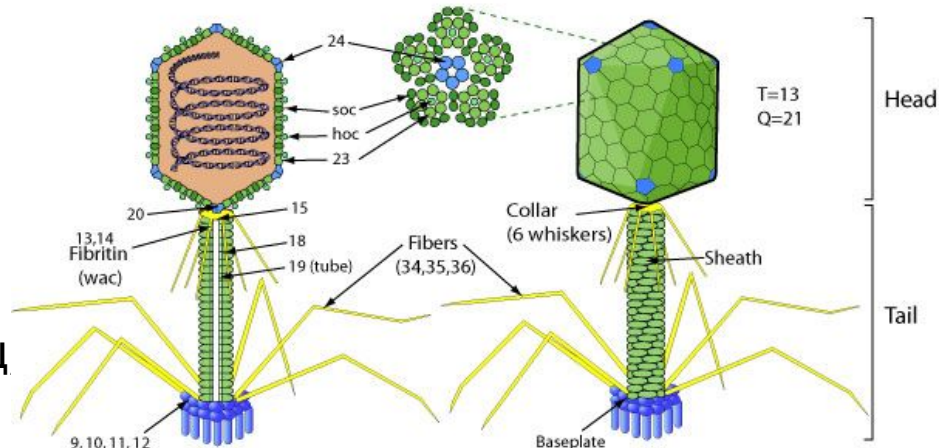
-) 30 мин при 37°C :

синтез белков к 5мин;

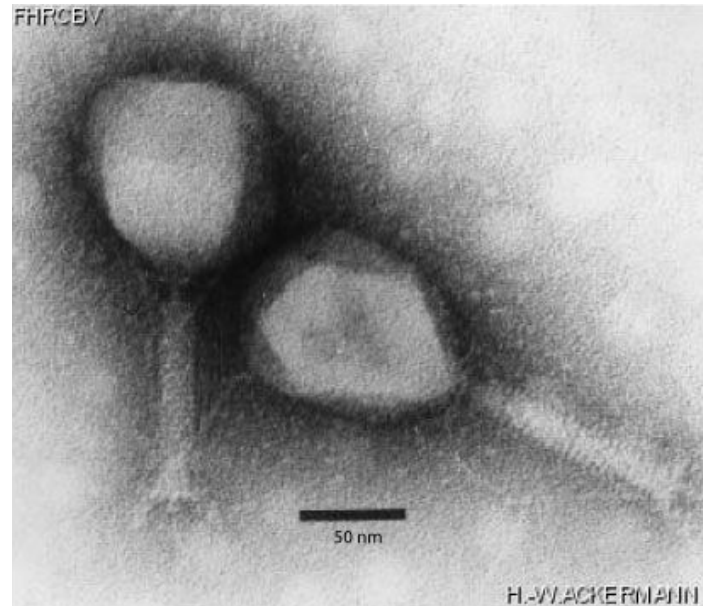
репликация ("хвост-к-хвосту") к 10 мин;

сборка новых частиц к 12 мин;

-) наличие концевых повторов.

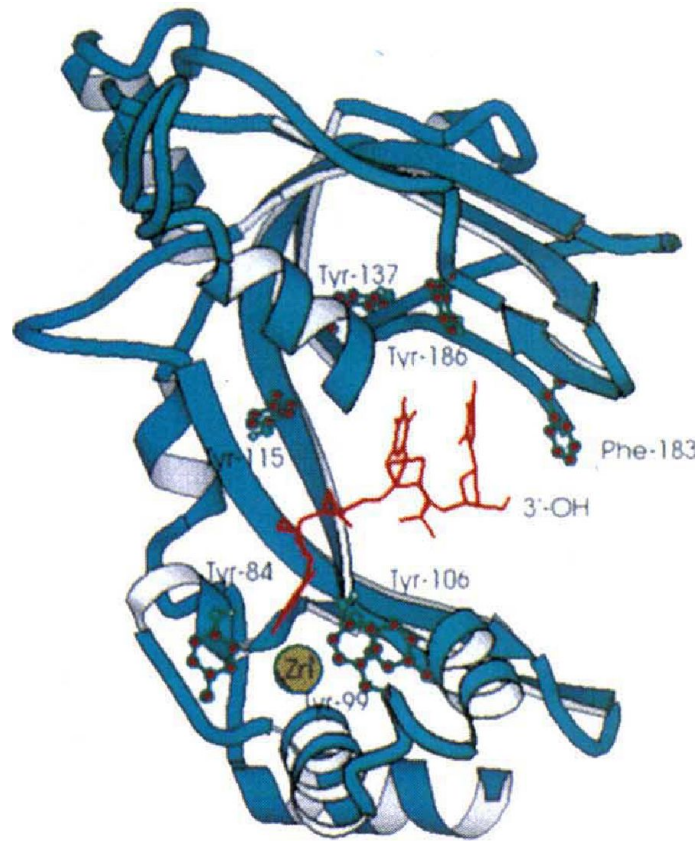
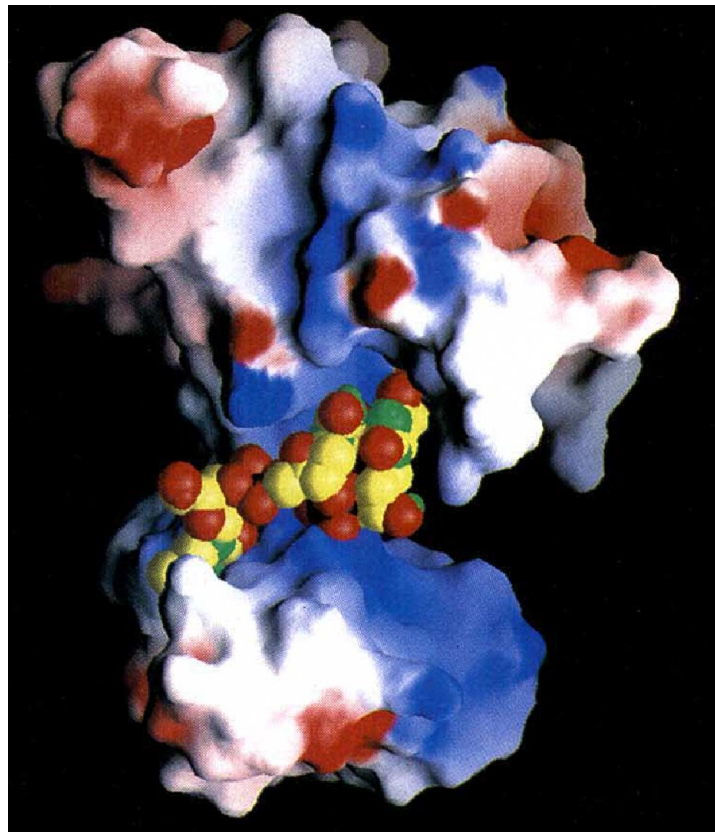


Брюс Альбертс, конец 1960-х гг. Идентификация гена 1979 г.



H.-WACKERMANN

РЕПЛИКАЦИЯ ФАГОВ: T4 gp32



OB-fold, oligonucleotide/oligosaccharide-binding
Zn-finger

$$K_d \text{ (dsDNA)} / K_d \text{ (ssDNA)} = 10^4$$

[Shamoo Y., Friedman A.M., Parsons M.R., Konigsberg W.H., Steitz T.A. Crystal structure of a replication fork single-stranded DNA binding protein (T4 gp32) complexed to DNA. Nature. 1995. 376, 362-6]

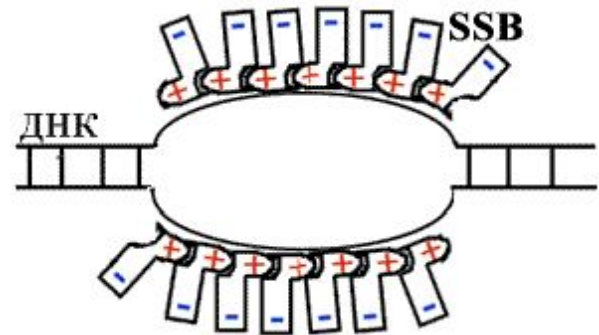
SSB E.coli



Pdb 1eqq

[Matsumoto T, Morimoto Y, Shibata N, Kinebuchi T, Shimamoto N, Tsukihara T, Yasuoka N. Roles of functional loops and the C-terminal segment of a single-stranded DNA binding protein elucidated by X-Ray structure analysis. J. Biochem. 2000. 127 329-35]

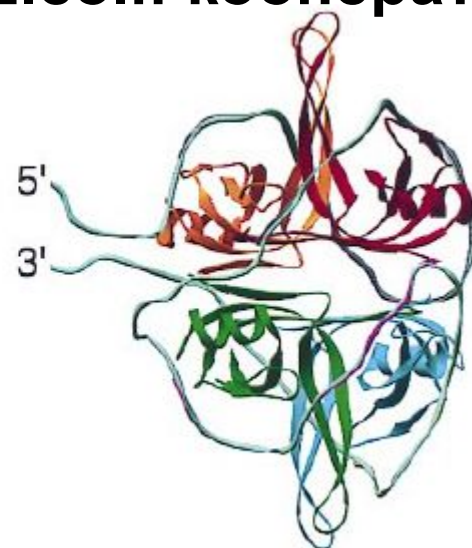
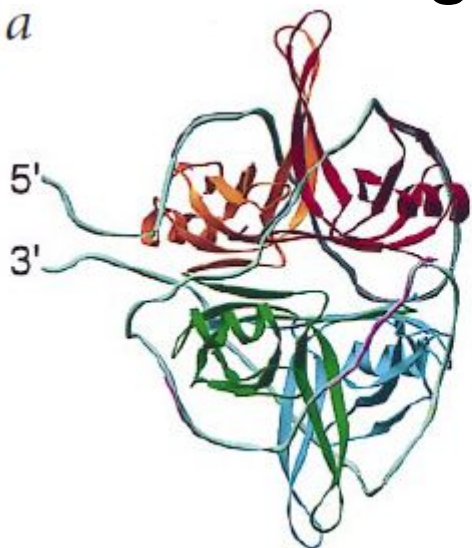
178 ақ
19 kDa



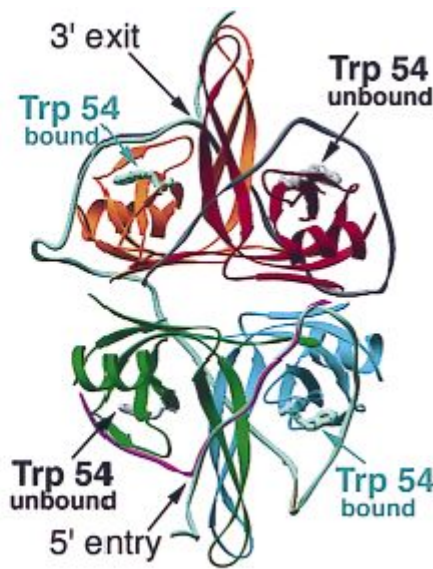
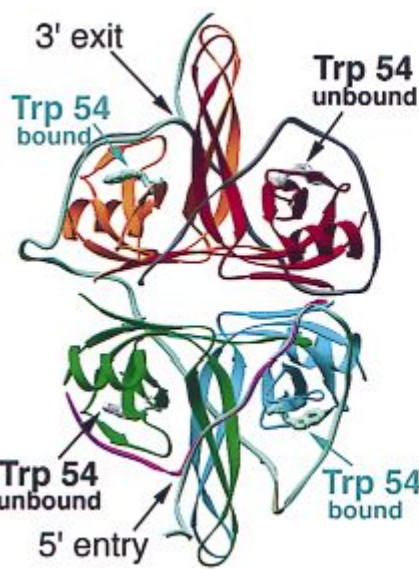
С-конец (173-178):
б/б
взаимодействия

SSB E.coli: кооперативность

a



178 ак
19 kDa

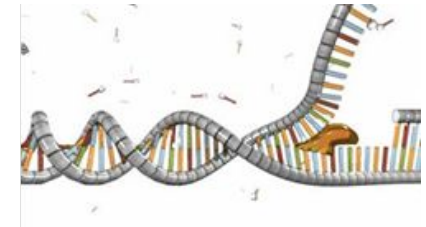


SSB₆₅

SSB₃₅

[Raghunathan S, Kozlov AG, Lohman TM, Waksman G. Structure of the DNA binding domain of *E. coli* SSB bound to ssDNA. *Nat Struct Biol.* 2000. 7(8):648-52]

ГЕЛИКАЗЫ



1976 - Открытие и выделение ДНК-геликазы *E.Coli* [Abdel-Monem M, Dürwald H, Hoffmann-Berling H. Enzymic unwinding of DNA. 2. Chain separation by an ATP-dependent DNA unwinding enzyme. Eur. J. Biochem. 1976. 65 (2):441–9].

1978 г. - Открытие первых эукариотических ДНК-геликаз ДНК, выделенных из лилий.

1982 – Белок 41 гена T4 - первой ДНК-геликаза бактериофага.

1985 - Первые ДНК-геликазы млекопитающих, выделенные из тимуса теленка.

1986 - Большой опухолевый антиген SV40 - первая вирусная ДНК-геликаза.

1986 - ATPaseIII, дрожжевой белок.

1990 - Выделение человеческой ДНК-геликазы ДНК [Tuteja N, Tuteja R, Rahman K, Kang LY, Falaschi Aю A DNA helicase from human cells. Nucleic Acids Res. 1990. 18 (23):6785–92].

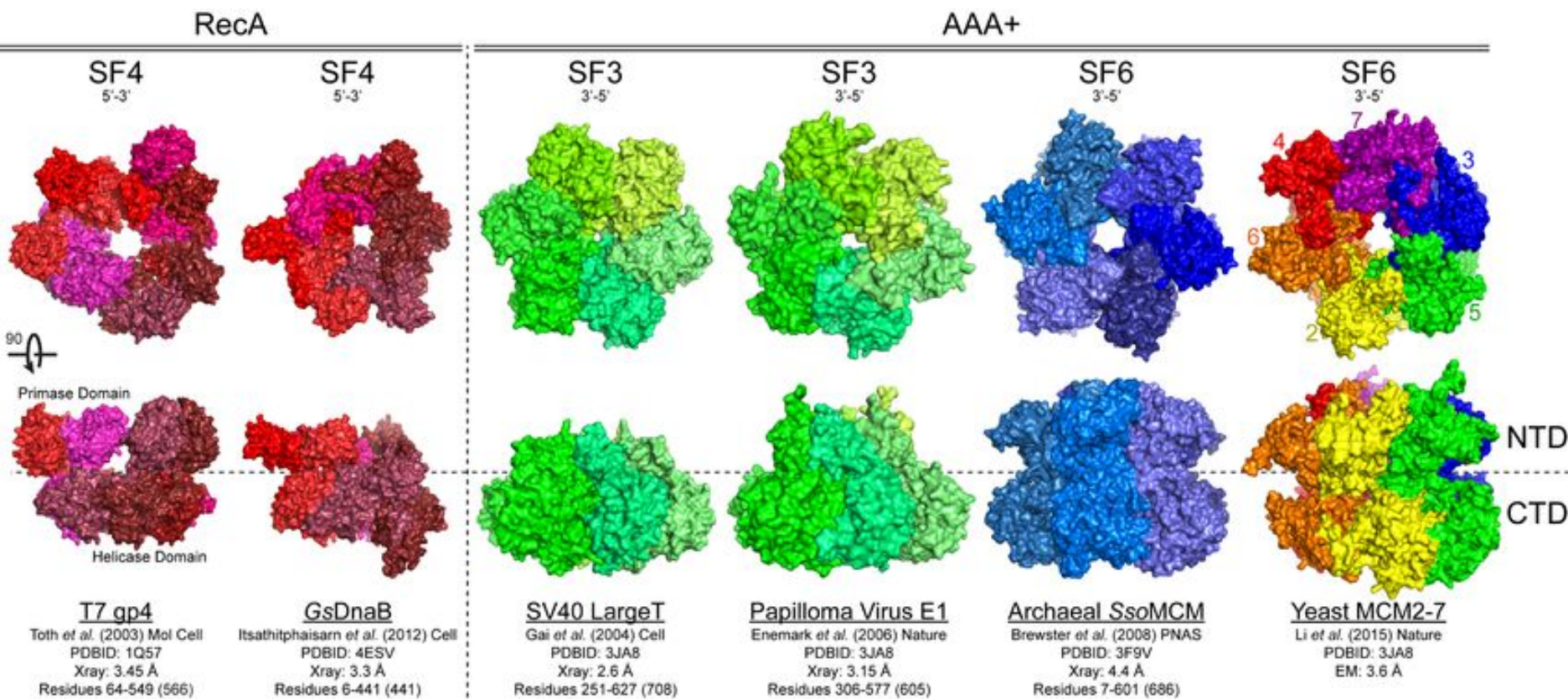
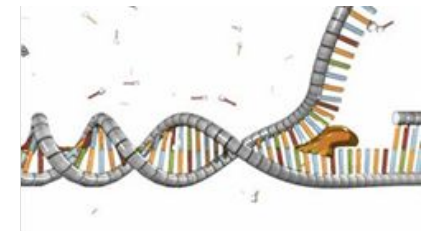
1992 г. - Выделение митохондриальной ДНК-геликазы (из головного мозга КРС).

2002 г. - Изоляция и характеристика первой биохимически активной малярийной паразитной ДНК-геликазы *Plasmodium cunomolgi*.

ГЕЛИКАЗЫ

E.coli - 14 ферментов
Бактериофаги – 6
Вирусы - 12,
Дрожжи – 15
Растения – 8

Клетки тимуса теленка - выделено 11
Клетки человека выделено 25
Около 1% генов эукариот кодируют геликазы
Геном человека кодирует 95 не-избыточных геликаз:
64 РНК-геликазы и 31 ДНК-геликазу

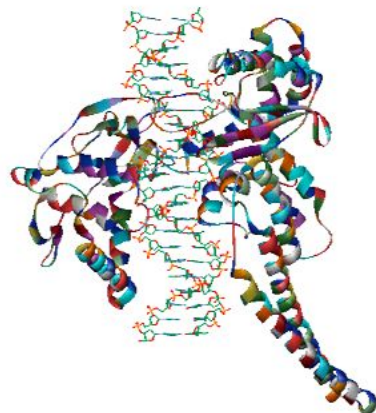
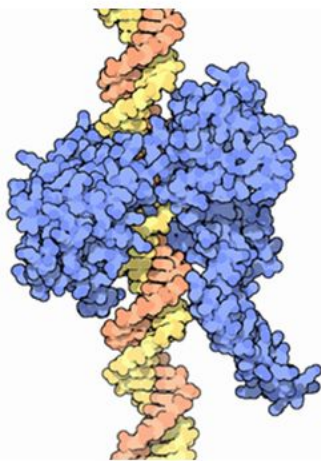


LIAKONOV IVAN. STRUCTURAL MECHANISMS OF HELICASE PROTEIN LOADING, ASSEMBLY, AND UNWINDING. FIGURES.

ТОПОИЗОМЕРАЗЫ

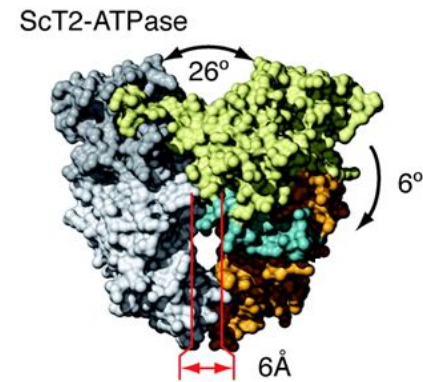
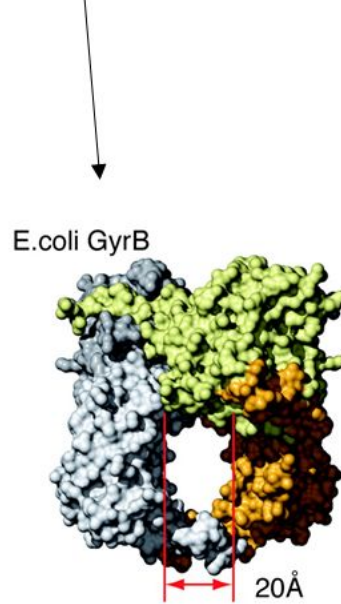
ТОПОИЗОМЕРАЗЫ I
topo I

одноцепочечные разрывы в дуплекс ДНК
без затрат энергии

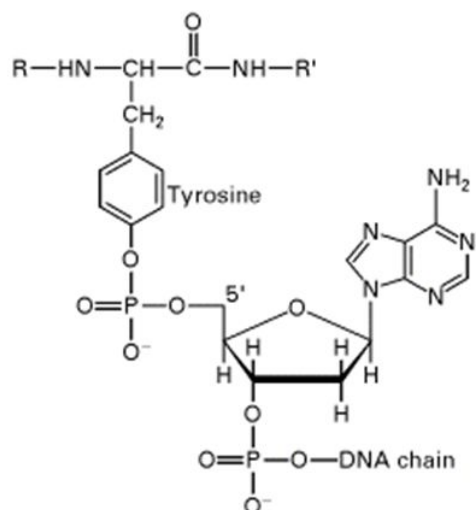
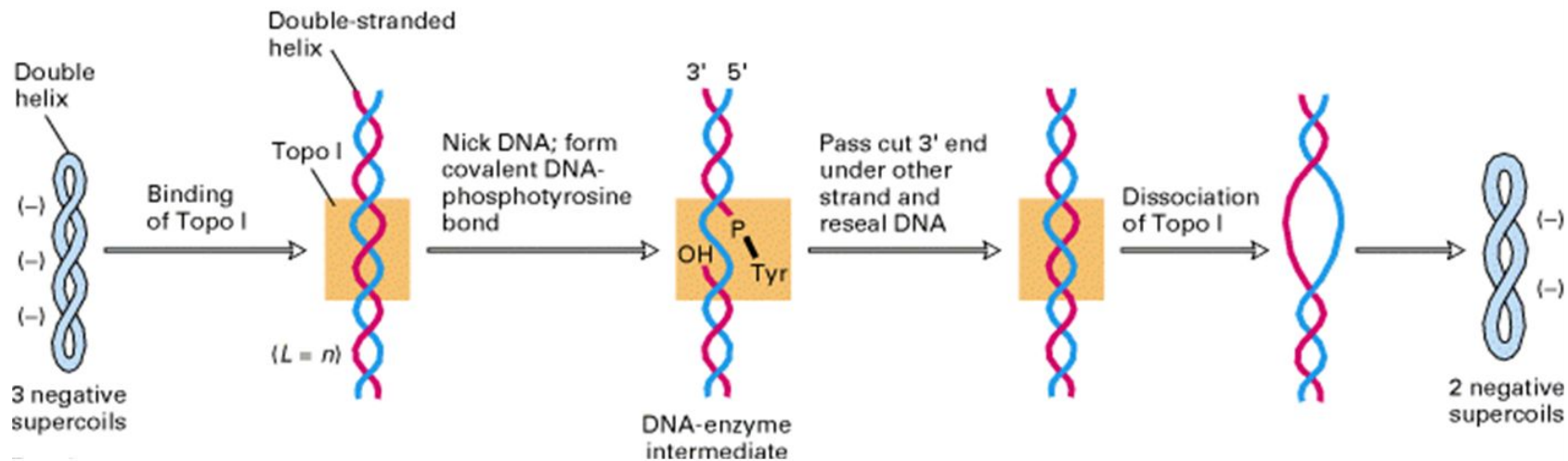


ТОПОИЗОМЕРАЗЫ II
topo II

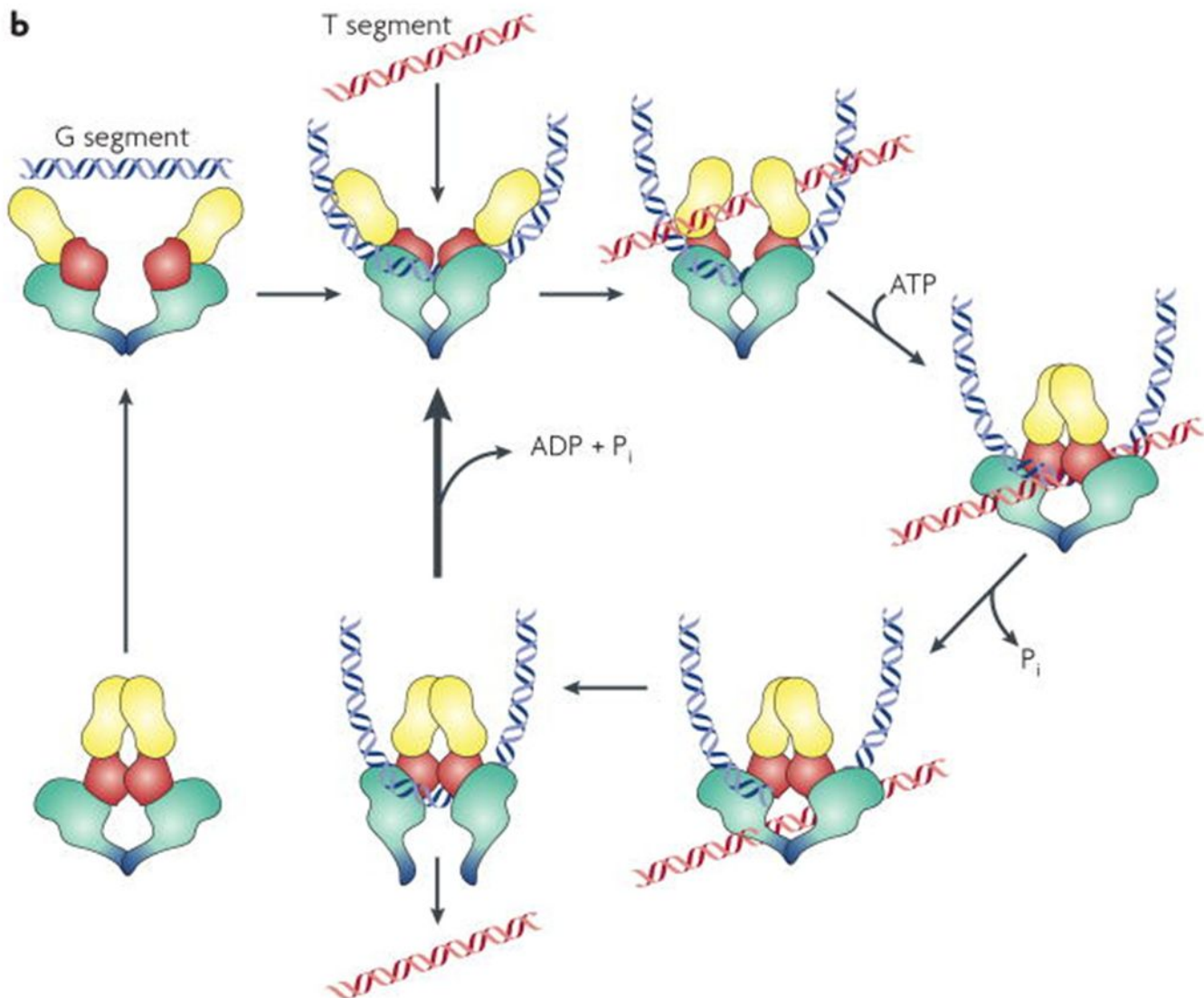
двуцепочечные разрывы в дуплекс ДНК
с гидролизом АТР



ТОПОИЗОМЕРАЗЫ: topo I

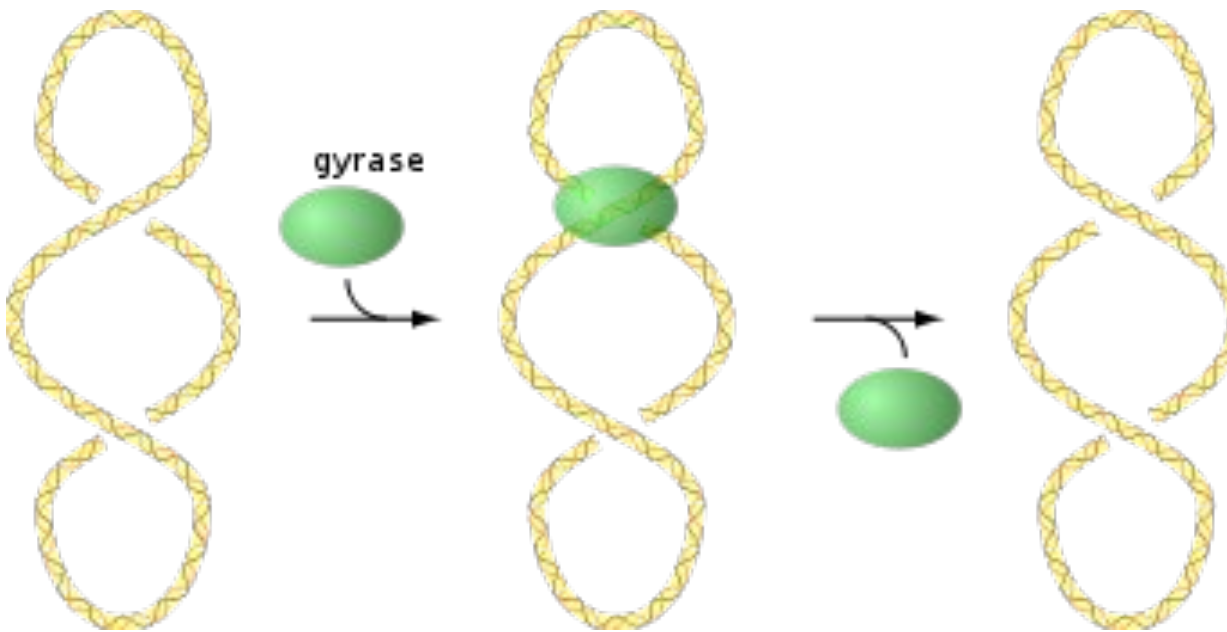


ТОПОИЗОМЕРАЗЫ: topo II



[J. L. Nitiss DNA topoisomerase II and its growing repertoire of biological functions. Nat Rev Cancer. 2009. 9(5):327-37]

ТОПОИЗОМЕРАЗЫ: гираза *E.coli*



21 нт 5'-RNNNRNNRTGRYCTYNYNGNY-3'

R – пурины, Y – пиrimидины, N - любой

45-50 сайтов → 10000 сайтов

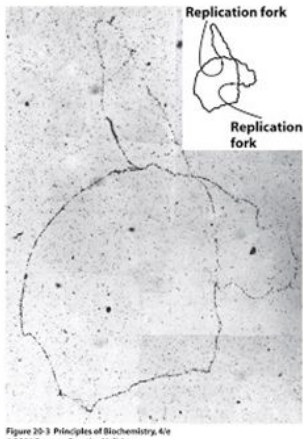
100 супервитков/мин

[Scott Classen, Stephane Olland, and James M. Berger Structure of the topoisomerase II ATPase region and its mechanism of inhibition by the chemotherapeutic agent ICRF-187. 2003. PNAS. 100:10629-10634]

ТОПОИЗОМЕРАЗЫ

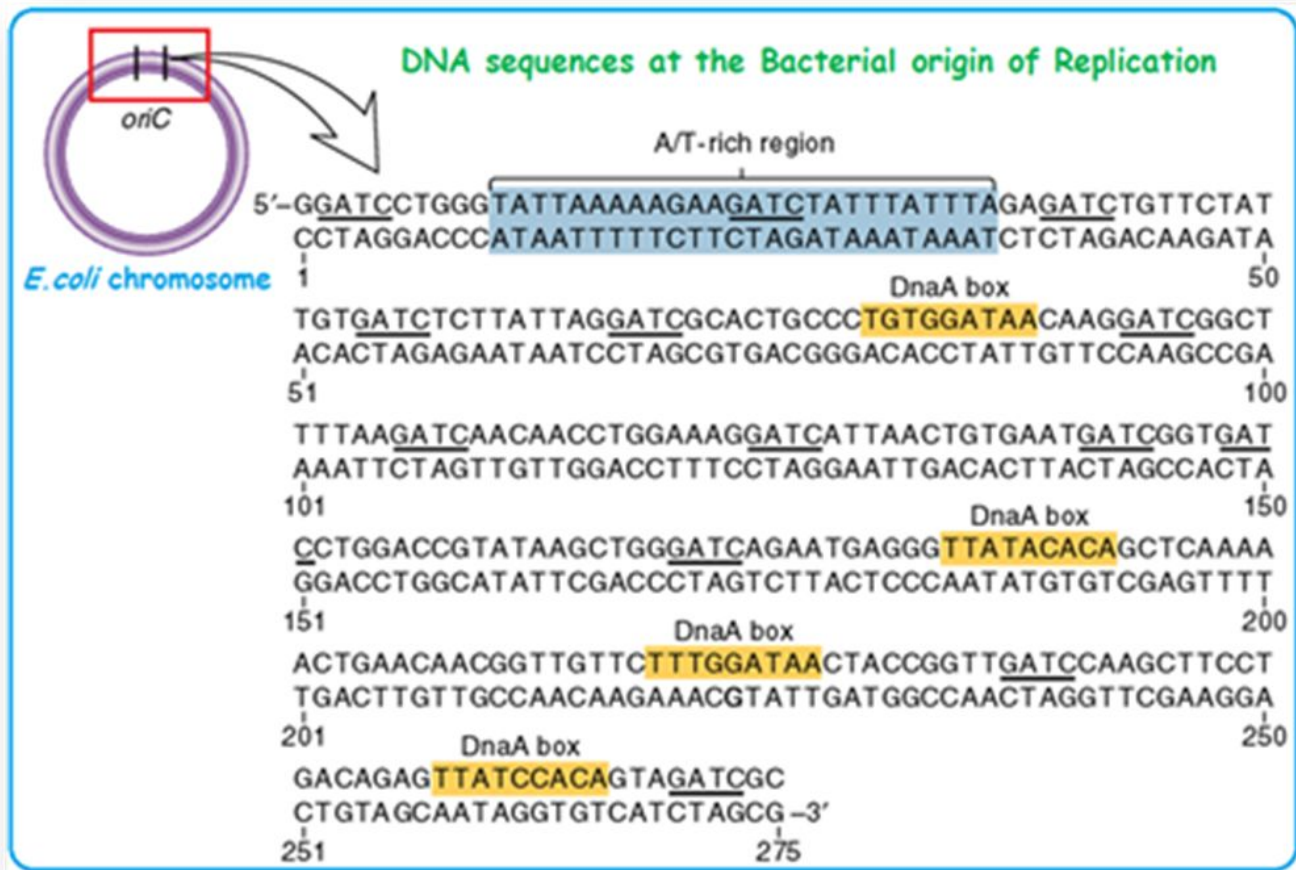
Топоизомеразы	IA	IB	IIA	IIB
Необходимость в ионах металлов	Да	Нет	Да	Да
Зависимость от АТФ, кол-во мол	Нет	Нет	Да 2	Да 2
Разрыв	оц	оц	дц	дц
Конец прикрепления	5'	3'	5'	5'
Изменение числа супервитков	± 1	± 1	± 2	± 2

РЕПЛИКАЦИЯ *E.coli*: инициация



[из Карла Зиммера]

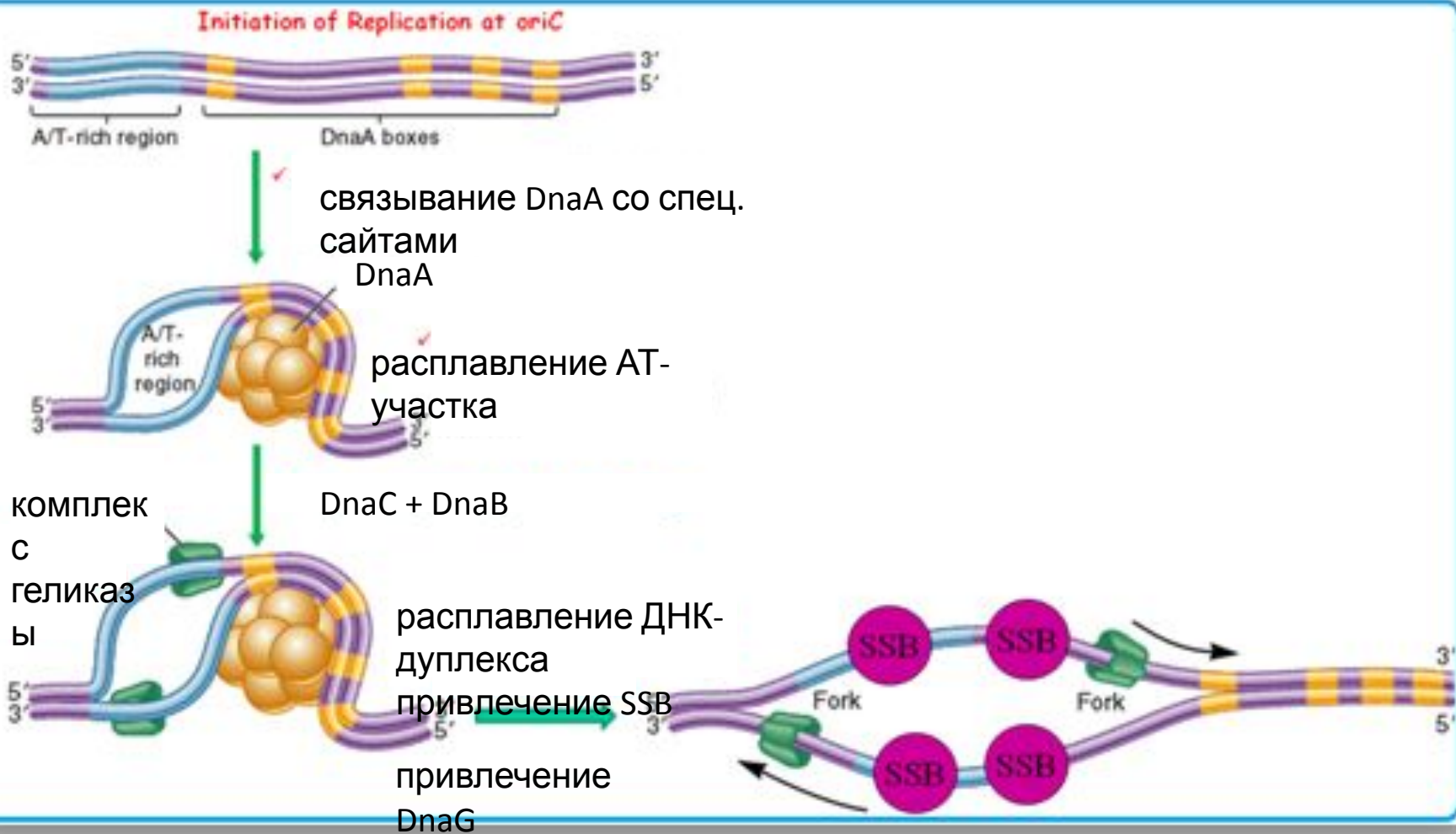
OriC - origin of chromosomal replication



DnaA: 467 ак, 52.5 kDa

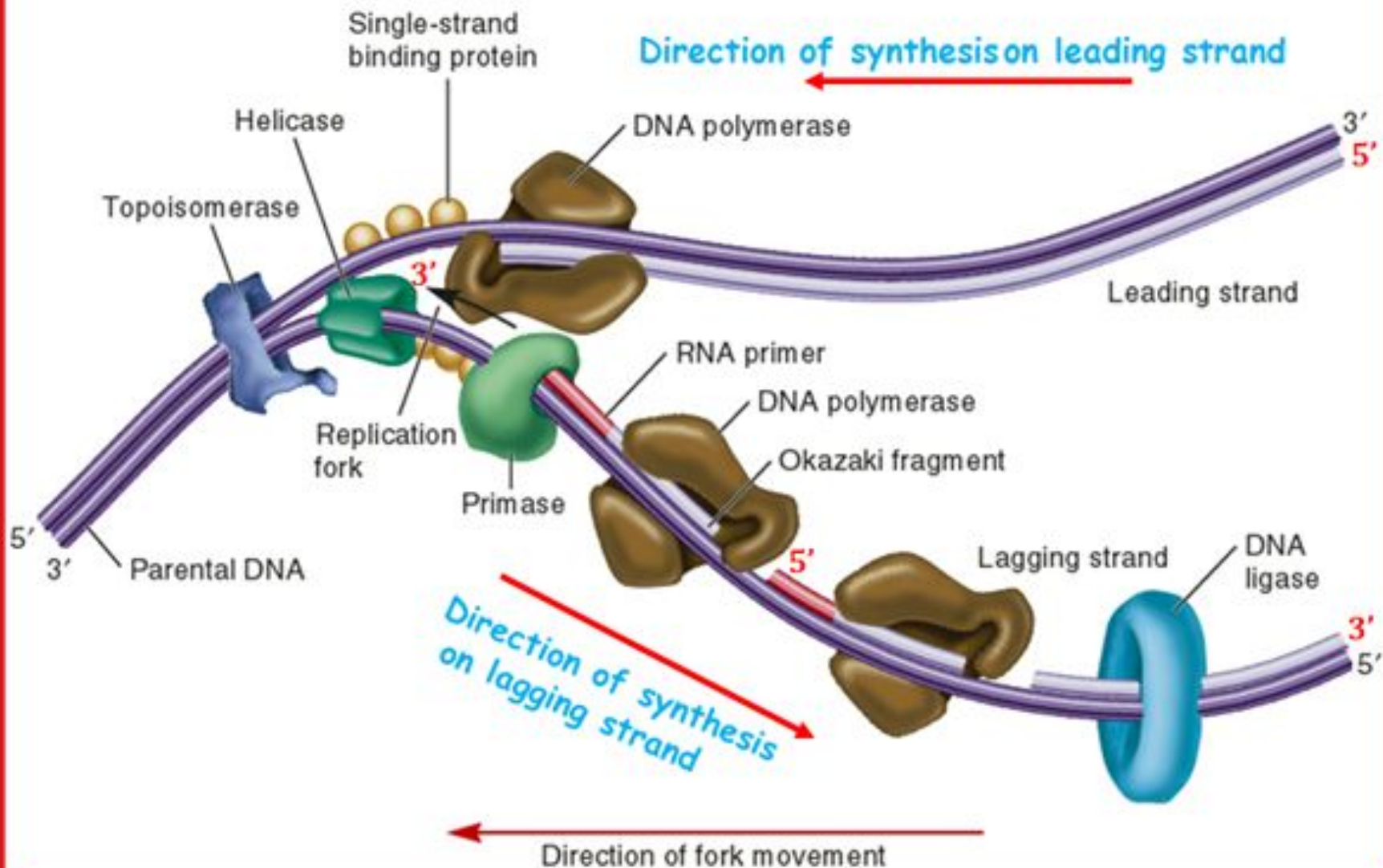
R1, R2, R4: 5'-TTAT(C/A)CACA-3', ATP-зависимое связывание

РЕПЛИКАЦИЯ *E.coli*: инициация

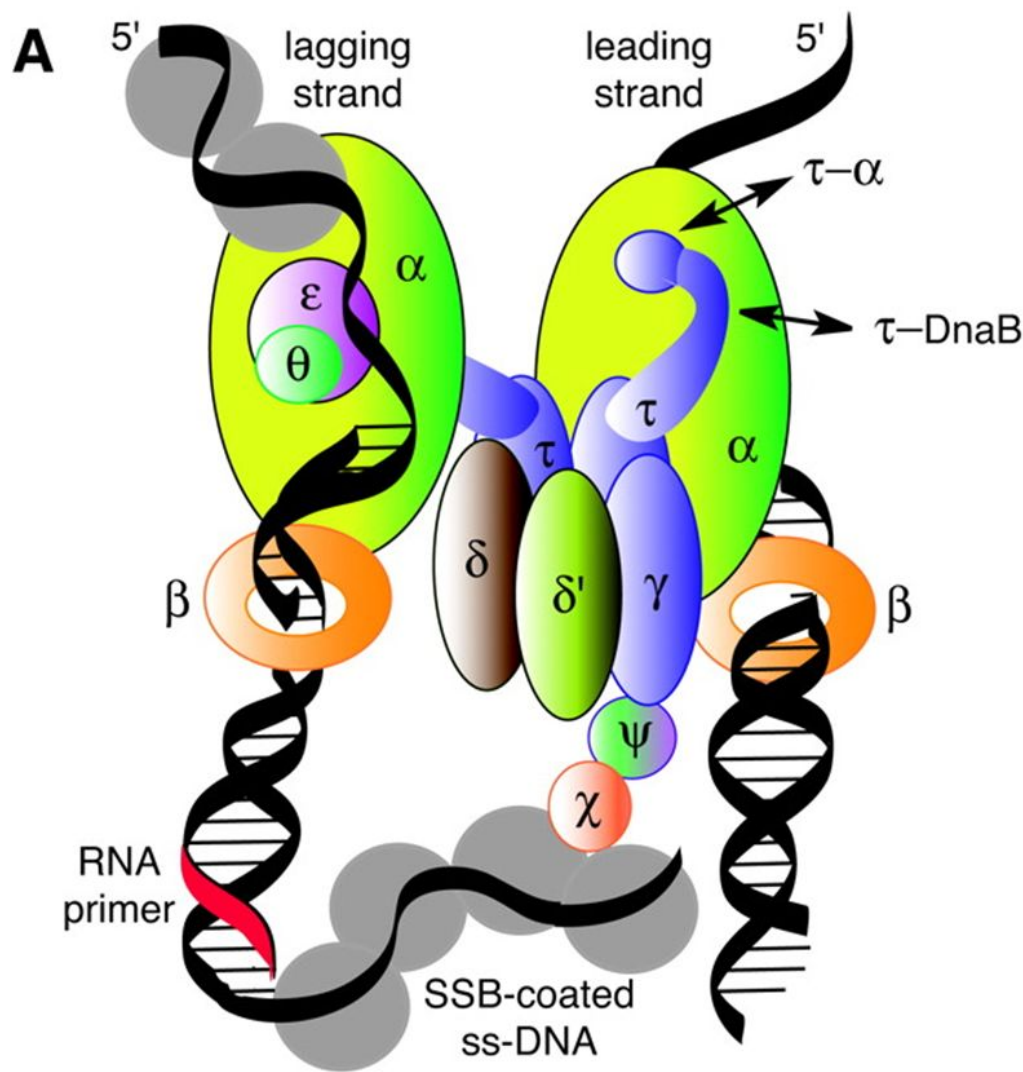


РЕПЛИКАЦИЯ *E.coli*: элонгация

Two dimensional view of a replication fork

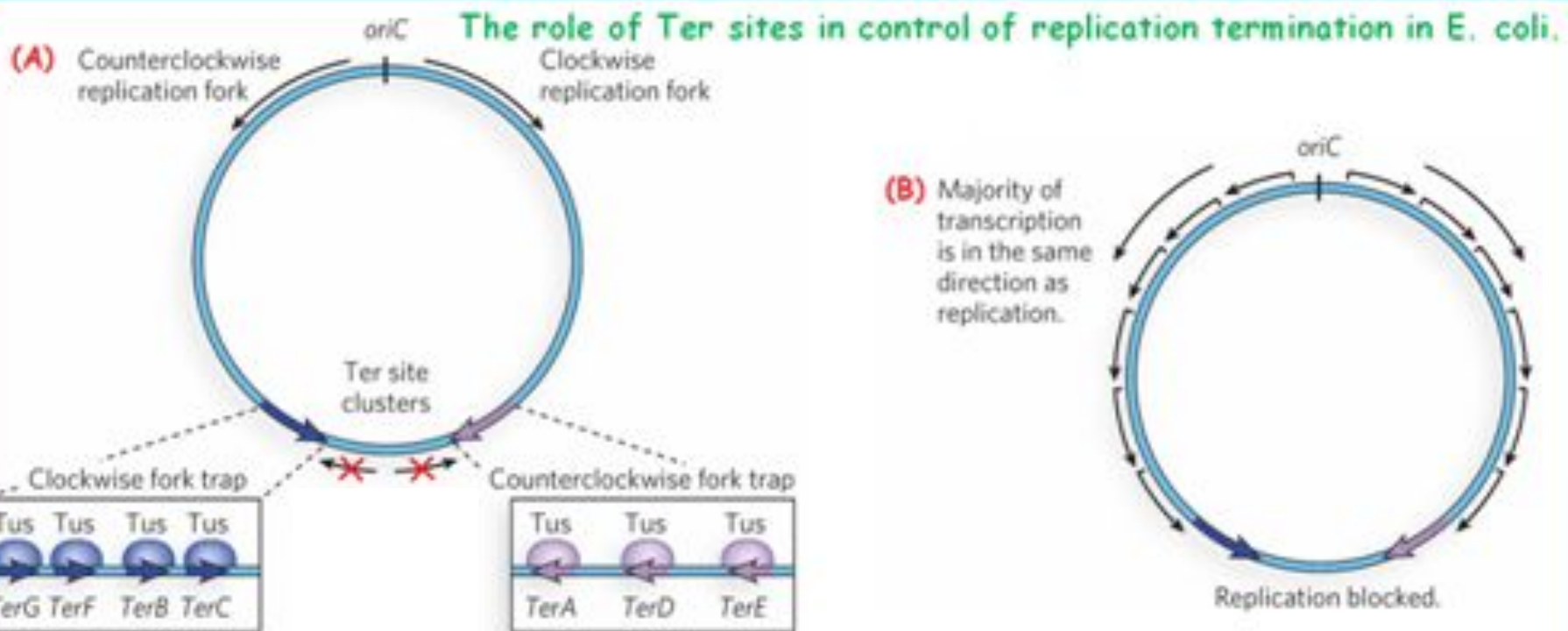


РЕПЛИКАЦИЯ *E.coli*: элонгация



DnaA
SSB
DnaC – loader
DnaB – helicase
DnaG – primase
PriA,B – priming
holo pol III

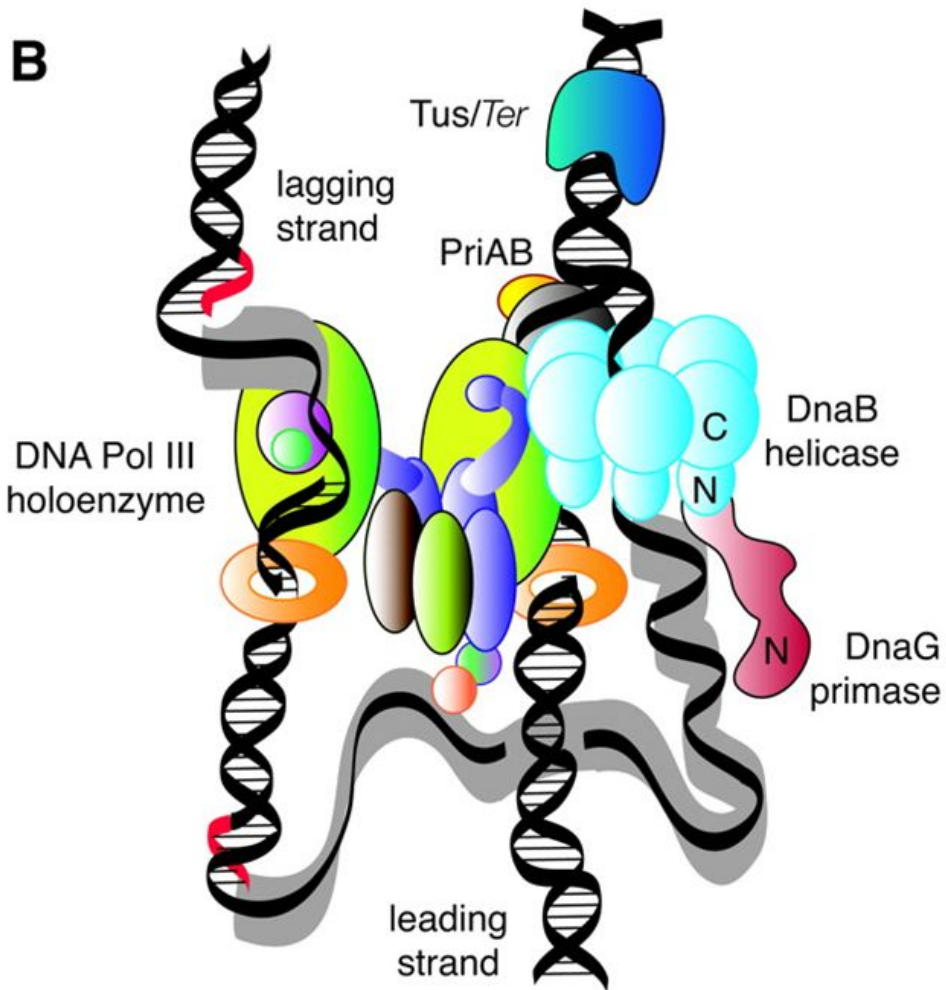
РЕПЛИКАЦИЯ *E.coli*: терминация



10 Тер-сайтов, 23 пн, TerA, ..., TerJ

Tus - terminus utilization substance

РЕПЛИКАЦИЯ *E.coli*: терминация



РЕПЛИКАЦИЯ *E.coli*: терминация

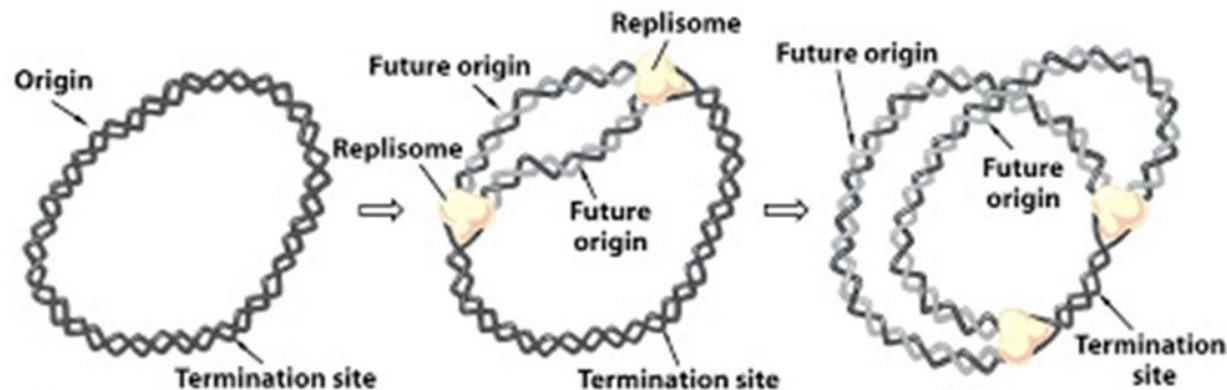
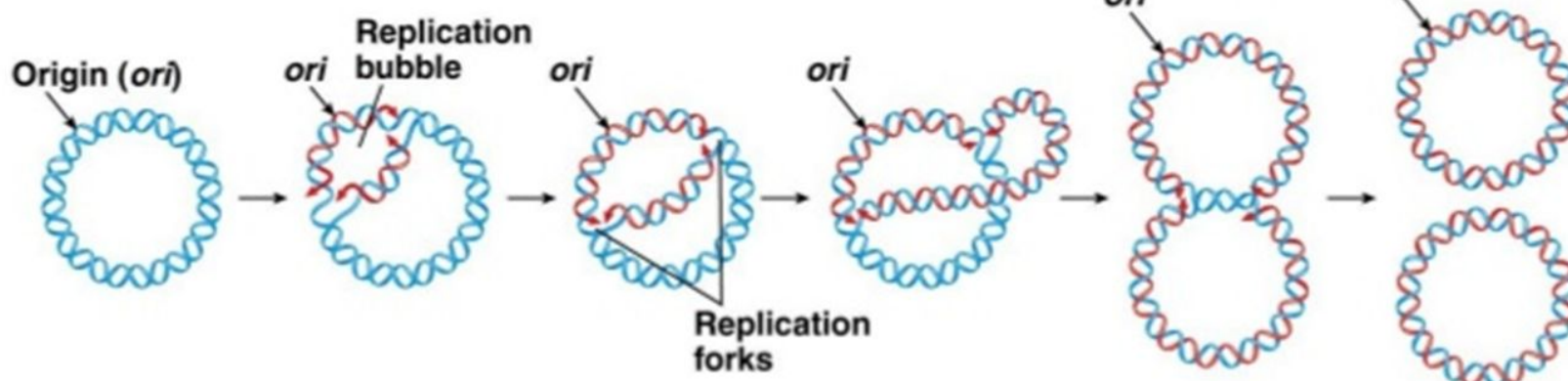


Figure 20-2 Principles of Biochemistry, 4/e
© 2006 Pearson Prentice Hall, Inc.

(a) Bidirectional replication model



[W Seufert and W Messer. Start sites for bidirectional in vitro DNA replication inside the replication origin, oriC, of *Escherichia coli*. EMBO J. 1987. (8): 2469–2472]

РЕПЛИКАЦИЯ *E.coli*: регуляция

DnaA

RIDA,

Regulatory Inactivation of DnaA

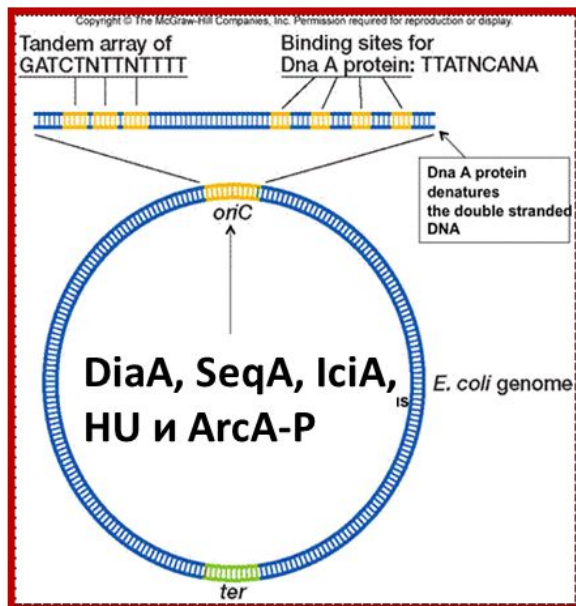


DARS,

DnaA Reactivating Sequence

DDAH, datA-dependent DnaA-hydrolysis

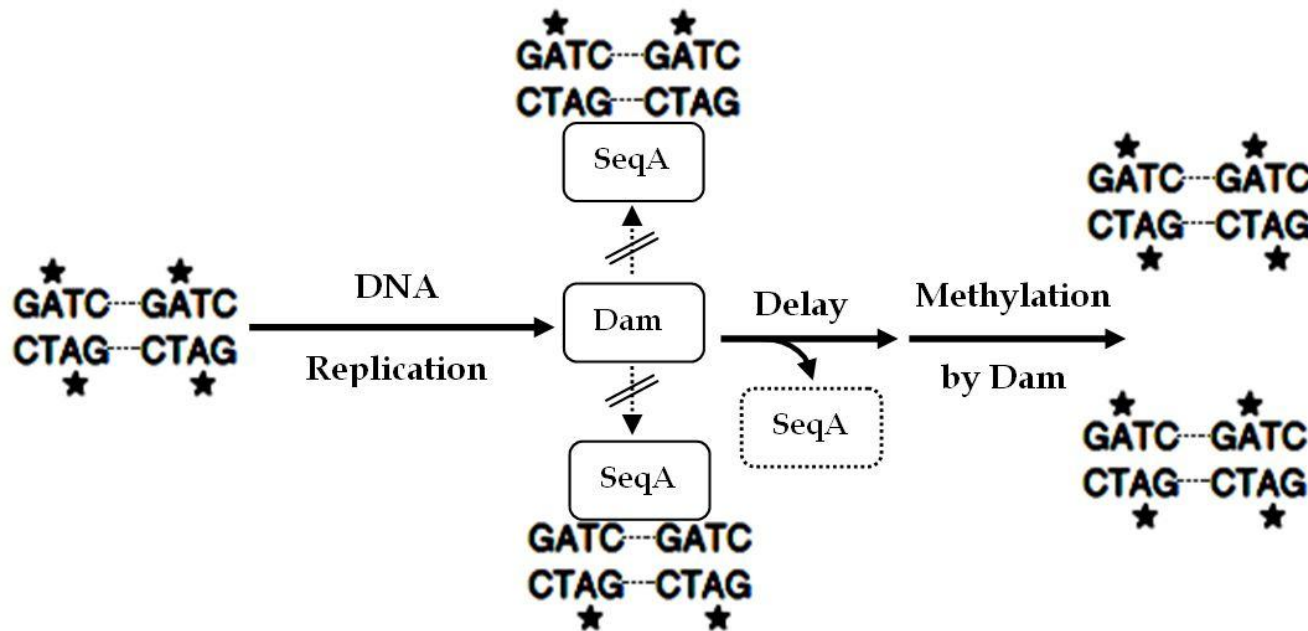
ингибиование экспрессия *dnaA SeqA*



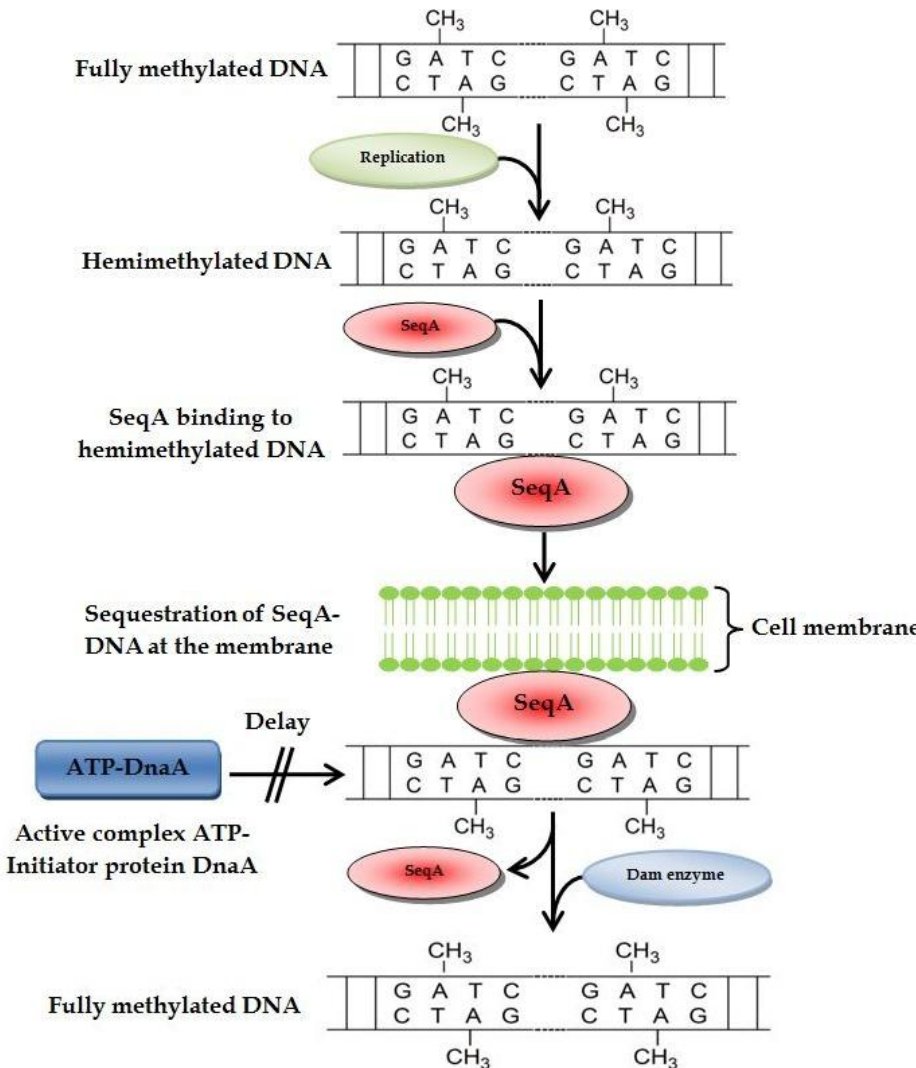
контроль через метилирование

РЕПЛИКАЦИЯ *E.coli*: регуляция

11
сайтов
6N-A

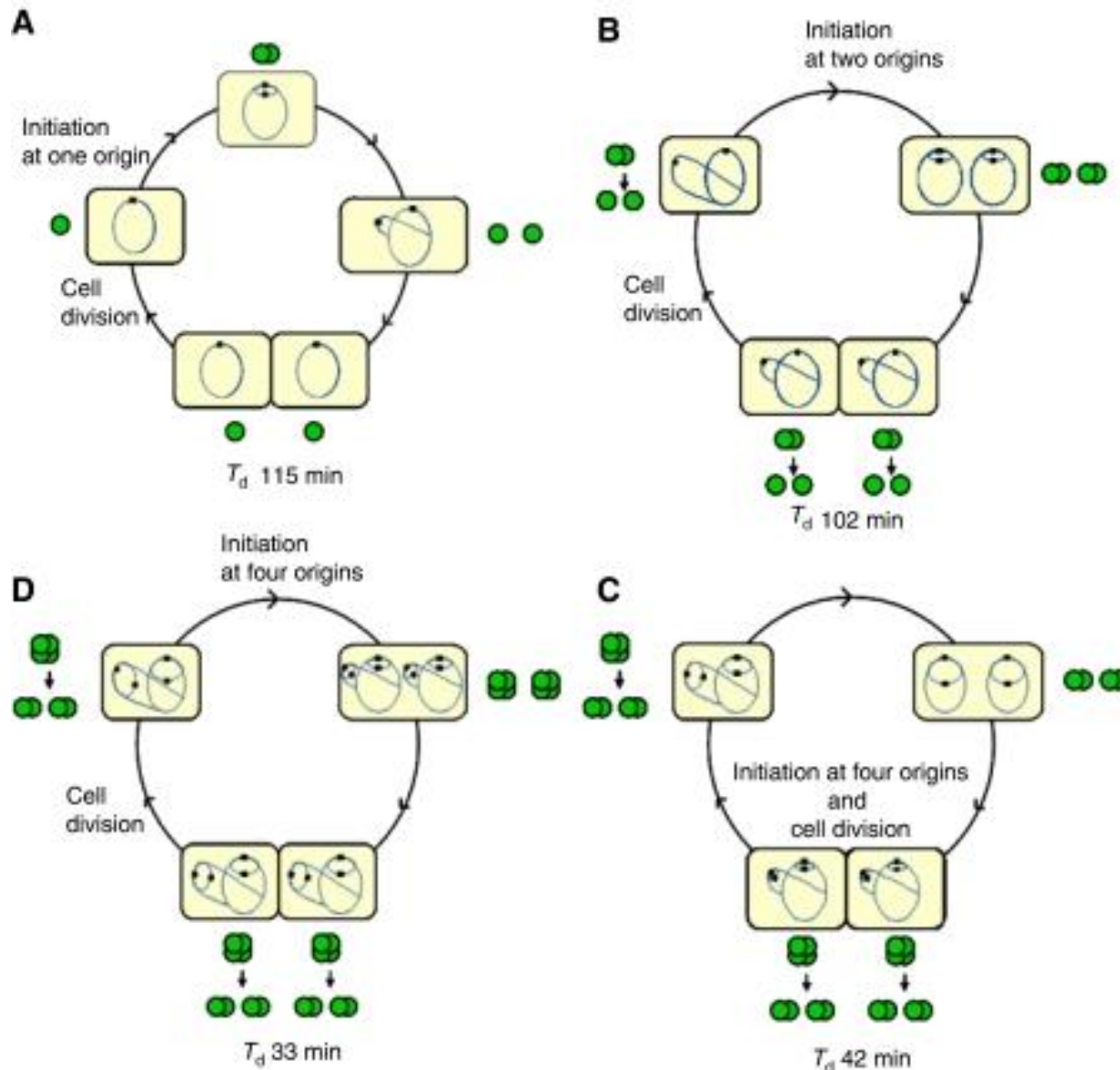


РЕПЛИКАЦИЯ *E.coli*: регуляция



[Biochemistry, Genetics and Molecular Biology "The Mechanisms of DNA Replication", book edited by David Stuart, ISBN 978-953-51-0991-4, Published: February 20, 2013 under CC BY 3.0 license. © The Author(s). Chapter 12. Roles of Methylation and Sequestration in the Mechanisms of DNA Replication in some Members of the Enterobacteriaceae Family. Amine Aloui, Alya El May, Saloua Kouass Sahbani and Ahmed Landoulsi]

РЕПЛИКАЦИЯ *E.coli*: регуляция



[Solveig Fossum, Elliott Crooke, and Kirsten Skarstad. Organization of sister origins and replisomes during multifork DNA replication in *Escherichia coli* EMBO J. 2007. 26(21): 4514–4522]